

# الباب التاسع

## أمثلة محلولة وأسئلة عامة

مثال ( ١ ) :

دخل فوتون الأشعة السينية ذو الطول الموجي  $150 \text{ pm}$  إلى الجزء الداخلي لذرة . وتسبب في طرد إلكترون . وقد تم قياس سرعة الإلكترون المطرود حيث كانت تساوي  $1.14 \times 10^7 \text{ ms}^{-1}$  فكم هي طاقة ربط هذا الإلكترون في الذرة .

الحل :

حساب قانون حفظ الطاقة :

$$h\nu = \phi + \frac{1}{2} mv^2$$

حيث  $h\nu$  هي طاقة الفوتون وتكتب أيضاً بالشكل  $h \frac{c}{\lambda}$  والآن :

$$( 6.6 \times 10^{-34} \text{ Js} ) \left( \frac{2.9 \times 10^8 \text{ ms}^{-1}}{150 \times 10^{-12} \text{ m}} \right) = \phi + \frac{1}{2}$$

$$( 9.1 \times 10^{-31} \text{ kg} ) ( 2.14 \times 10^7 \text{ ms}^{-1} )$$

ومنها نحصل على :

$$\phi = 11.04 \times 10^{-16} \text{ J} = 6.9 \text{ keV}$$

مثال ( ٢ ) :

بأي عامل ستغير سرعة إلكترون في مدار بور لذرة الهيدروجين إذا ازدادت قيمة عدد الكم الرئيسي (  $n$  ) إلى الضعف .

**الحل :**

بالاعتماد على فرضيات بوهر يمكن اشتقاق معادلة إيجاد نصف القطر ( r ) للمدارات وسنكتفي هنا بذكر النتيجة :

$$r = \frac{n^2 h^2}{4\pi^2 mZe^2}$$

ومنها يتضح أن r تتناسب مع  $n^2$  ( حيث بقية الحدود جميعها ثابت ) وبذا فإن r ستتضاعف أربع مرات إذا تضاعفت n .

ومن فرضية بوهر الخامسة (  $mvr = nh / 2\pi$  ) يمكننا أن نستنتج أن السرعة v ينبغي أن تنخفض للنصف عندما تتضاعف قيمة n .

**مثال ( ٣ ) :**

إذا كان طول موجي دي بروجلي لجسيم يعطي بـ  $\lambda = \frac{h}{p}$  حيث p

هو عزم الجسيم فثبت أن مدار بوهر لذرة شبيهة الهيدروجين يمتلك محيطًا مساويًا لعدد صحيح مضروبًا في طول موجي دي بروجلي لإلكترون يمتلك ذلك العزم p .

**الحل :**

وفقًا لفرضية بوهر الخامسة :

$$mvr = n \frac{h}{2\pi}$$

$$2\pi r = \frac{nh}{mv} = n \frac{h}{p} \quad \text{وبعد ترتيبها تصبح :}$$

( حيث p الزخم ويساوي mv ) والآن وفقًا لفرضية دي بروجلي

$$2\pi r = n\lambda \quad \text{يمكننا كتابة المحيط ( } 2\pi r \text{ ) بالشكل التالي :} \quad \left( \lambda = \frac{h}{p} \right)$$

مثال ( ٤ ) :

من المعادلة الموجية تعطي طاقة إلكترون في صندوق ( أحادي الاتجاه ) بالصيغة التالية :

$$E_x = \frac{n^2 h^2}{8ma^2}$$

فإذا أخذنا  $a$  على أساس أنها تمثل طول رابطة كربون - كربون وعوضنا عن ثابت بلانك  $h$  وكتلة الإلكترون  $m$  بما يساويهما فإننا سنحصل على طاقة ترقية إلكترون من  $n = 1$  إلى  $n = 2$  .

وقد وجدت أنها تتناظر ضوءًا ذا طول موجي حوالي  $170 \text{ \AA}$  .  
والآن إذا طبقنا هذا النموذج على نظام يتضمن روابط مزدوجة متبادلة فإن التطويرات الرئيسية هنا هي أن إلكترون واحد من كل ذرة كربون سيشغل أقل مستويات الطاقة وبالتأكيد سيكون طول الصندوق مساويًا لـ  $xa$  حيث  $x$  هي عدد ذرات الكربون . احسب الطول الموجي للضوء الممتص واللازم لإعطاء الحالة المتهيجة الأولى لنموذج أو سلسلة متبادلة الروابط المزدوجة وتتضمن 12 ذرة كربون .

الحل :

$$E = \frac{h^2}{8ma^2} n^2$$

في حالة رابطة C - C منفردة ( أو صندوق أحادي الاتجاه وطوله  $a$  ) نكتب المعادلة أعلاه بالصيغة المبسطة التالية :

$$E = E n^2$$

وعندئذ فإن  $\Delta E$  ( الطاقة اللازمة لانتقال إلكترون من  $n = 1$  إلى  $n = 2$  ) ستكون .

$$\Delta E = A ( 2^2 - 1^2 ) = 3A$$

$$A = \Delta E / 3$$

أو :

أما في حالة السلسلة المتكونة من 12 ذرة كربون فإن إلكترونات باي الاثنا عشر الموجودة ستملأ المستويات الست الأولى ( إلكترونان متعاكسي البرم في كل مستوى طاقي ) وبذا فإن الانتقال للحالة المثيجة الأولى سيثمل انتقال إلكترون من المستوى الطاقى الأخير أي من  $n = 6$  إلى  $n = 7$  .

وهكذا فأمامنا الآن صندوق أكبر طوله  $a'$  وهو يساوي .

$$a' = xa = 12a$$

وتصبح الطاقة لهذا النموذج كالاتي :

$$E' = A' n^2$$

حيث إن :

$$A' = \frac{h^2}{8ma'^2} n^2 = \frac{h^2 n^2}{8m(12a)^2} = \frac{A}{12^2}$$

ويمكننا أن نكتب للانتقال الإلكتروني من  $n = 6$  إلى  $n = 7$  ما يلي :

$$\Delta E' = A' (7^2 - 6^2) = 13A' = 13 \left( \frac{A}{12^2} \right) = \frac{13}{144} A$$

وبما أن  $A = \frac{\Delta E}{3}$  إذا سيكون :

$$\Delta E' = \left( \frac{13}{144} \right) \left( \frac{\Delta E}{3} \right) = 0.03 (\Delta E)$$

وطالما أنه للضوء : يتناسب الطول الموجي عكسيًا مع الطاقة

عندئذ فالطول الموجي المطلوب سيساوي  $\frac{170}{0.03}$  أنجستروم

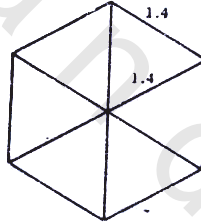
أو 5700 أنجستروم .

مثال ( ٥ ) :

وجد أن طاقة الحالة المستقرة لإلكترون محدد لصندوق ( أحادي الاتجاه وطوله  $1.4 \text{ \AA}^0$  ) تناظر ضوءاً ذا طول موجي  $700 \text{ \AA}^0$  . ولنأخذ البنزين على درجة التقريب على أساس أنه صندوق ثنائي الاتجاه معطياً شكل سداسي منتظم وطول الرابطة C - C فيه تساوي  $1.4 \text{ \AA}^0$  وبذا فإن جانب الصندوق سيكون  $2.8 \text{ \AA}^0$  احسب الطول الموجي للانتقال من الحالة المستقرة إلى الحالة المثيجة الأولى في البنزين معتبراً أن الإلكترونات باي ( $\pi$ ) هي المشتركة فقط .

الحل :

كما هو مبين من الشكل أدناه :



نجد أن السداسي المنتظم يمكن تركيب من ستة مثلثات متساوية الأضلاع بحيث إن ضلع كل منها  $1.4 \text{ \AA}^0$  وأن الصندوق الذي يحوي هذا السداسي سيكون له جانب طوله  $2.8 \text{ \AA}^0$  .

إن معادلتى الطاقة لجسيم في صندوق أحادي وثنائي الاتجاه هما :

$$E_1 = \frac{h^2}{8ma^2} n^2$$

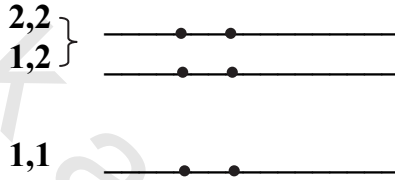
$$E_2 = \frac{h^2}{8ma^2} (n_1^2 + n_2^2)$$

ومن المعلومات المتوفرة يمكننا أن نعرف  $E_1$  للحالة حيث  $n = 1$  و  $a = 1.4 \text{ \AA}$  وعندئذ فإن  $E_2$  (لحالة الصندوق ثنائي الاتجاه وذو الطول  $2.8 \text{ \AA}$ ) ستكون :

$$E_2 = \frac{h^2}{8m(a')^2} (n_1^2 + n_2^2) = \frac{h^2}{8m(2a)^2} (n_1^2 + n_2^2)$$

$$= \frac{E_1}{4} (n_1^2 + n_2^2)$$

أما تسلسل المستويات الطاقية فهو موضح أدناه :



ويتبين أن الإلكترونات أي الست للبنزين ستتملأ المستويات  $(1, 1)$  و  $(2, 2)$  و  $(1, 2)$  وعندئذ فالانتقال الأول سيكون من المستوى  $(2, 1)$  أو  $(1, 2)$  إلى المستوى  $(2, 2)$  .

$$E_{(2,1)} = \frac{E_1}{4} (2^2 + 1^2) = \frac{E_1}{4} (5)$$

$$E_{(2,2)} = \frac{E_1}{4} (2^2 + 2^2) = \frac{E_1}{4} (8)$$

$$\Delta E = \frac{E_1}{4} (8 + 5) = \frac{E_1}{4} (3)$$

وطالما أن الطول الموجي يتناسب عكسيًا مع الطاقة عندئذ فإن الطول الموجي المناظر سيكون  $700 \times \frac{3}{4}$  وتساوي  $930 \text{ \AA}$  .

مثال ( ٦ ) :

إن الدالة الذاتية  $\psi$  للإلكترون  $1s$  لذرة شبيهة الهيدروجين تعطي كالاتي :  $\psi = (\text{const})e^{-Zr/a}$  ( حيث تشير  $\text{const}$  إلى كمية ثابتة ) وإن  $a$  هو نصف قطر مدار بوهر الأول للهيدروجين . اثبت أن نصف القطر الذي عنده توجد أقصى احتمالية لإيجاد إلكترون  $1s$  ( في أي اتجاه ) هي  $r_{\text{max}} = a / Z$  .

الحل :

إن احتمالية إيجاد إلكترون في وحدة حجم عند مسافة  $r$  تعطي بواسطة  $\psi^2$  ولكن الاحتمالية (  $p$  ) لإيجاده عند مسافة  $r$  بغض النظر عن الاتجاه يعطى بواسطة  $4\pi^2\psi^2$  و هذه الاحتمالية الأخيرة تكتب كالاتي :

$$P = 4\pi^2\psi^2 = (\text{const})r^2 \left( e^{-Zr/a} \right)^2$$

وعند جعل  $\frac{dP}{dr}$  تساوي صفراً فإننا سنحصل على :

$$\begin{aligned} \frac{dP}{dr} = 0 &= (\text{const})[ 2re^{-2Zr/a} - r^2 2(Z/a)e^{-2Zr/a} ] \\ &= (\text{const})2re^{-2Zr/a} (1 - Zr/a) \end{aligned}$$

ومنها نحصل على :

$$Zr/a = 1$$

$$r = a/Z$$

أو :

مثال ( ٧ ) :

وجد أن قيم ثابت القوة (  $k$  ) لروابط  $HF$  ,  $HCl$  ,  $C - C$  ,  $Cl - C$  , هي  $10$  ,  $5$  ,  $3.5$  ,  $5$  ( بوحدة  $10^5 \text{ dyn / cm}$  ) على التوالي . بين كيف سيكون تسلسلها

إذا أريد ترتيبها بدلالة زيادة العدد الموجي لامتصاص التذبذب الأول .

( ملاحظة يمكن افتراض أن كلا من المواد أعلاه هي جزيئة ثنائية الذرة ) .

**الحل :**

إن التغير الطاقى وبالتالي العدد الموجي العائد للانتقال التذبذبي الأول يتناسب مع  $\left(\frac{k}{\mu}\right)^{1/2}$  حيث  $\mu$  هي الكتلة المصححة .

وتقريباً نكتب الكتلة المصححة بالمول لـ  $C - C$ ,  $C - Cl$ ,  $HCl$  ،

$HF$  كالآتي :

$$\mu_{HF} = \frac{1 \times 18}{1 + 18} \approx 1$$

$$\mu_{HCl} = \frac{1 \times 36}{1 + 36} \approx 6$$

$$\mu_{Cl-C} = \frac{36 \times 12}{36 + 12} = 9$$

$$\mu_{C-C} = \frac{12 \times 12}{12 + 12} = 6$$

والآن نكتب النسبة  $\frac{k}{\mu}$  للمواد المذكورة كالآتي :

$$\frac{k_{HF}}{\mu_{HF}} = \frac{10}{1} = 10$$

$$\frac{k_{HCl}}{\mu_{HCl}} = \frac{5}{1} = 5$$

$$\frac{k_{Cl-C}}{\mu_{Cl-C}} = \frac{3.5}{9} = 0.4$$

$$\frac{k_{C-C}}{\mu_{C-C}} = \frac{5}{6} = 0.8$$

وهذا فإن التسلسل وفقاً لزيادة العدد الموجي سيكون :

$C - Cl$ ,  $C - C$ ,  $HCl$ ,  $HF$

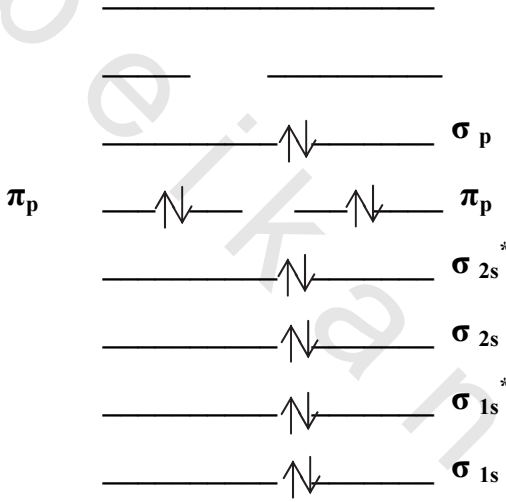
→ زيادة العدد الموجي



مثال ( ٨ ) :

ارسم مخطط الأوربيتال الجزيئي لـ  $CN^-$  وضع الإلكترونات في الأوربيتالات المناسبة وأعط رتبة الرابطة وعدد الإلكترونات غير المزدوجة.

الحل :



يمتلك أيون  $CN^-$  أربعة عشر إلكترونًا .  
أما رتبة الرابطة  $p$  فهي :

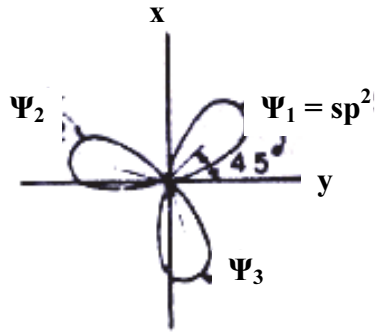
$$P = \frac{N_B - N_{AB}}{2} = \frac{10 - 4}{2} = 3$$

ولا يوجد إلكترونات غير مزدوجة .

مثال ( ٩ ) :

ما هي الدالات الضرورية لوصف الأوربيتال  $SP^2$  الهجين وأن

$\psi_4 = P_z$  وهو عمودي على الأوربيتال  $SP^2$  الهجين .



الحل :

$$\psi_1 = \frac{1}{\sqrt{3}} \phi_s + c_{1x} \phi_x + c_{1y} \phi_y$$

$$\psi_2 = \frac{1}{\sqrt{3}} \phi_s + c_{2x} \phi_x + c_{2y} \phi_y$$

$$\psi_3 = \frac{1}{\sqrt{3}} \phi_s + c_{3x} \phi_x + c_{3y} \phi_y$$

$$c_{1x} = c_{1y}$$

$$\frac{1}{3} + c_{1x}^2 + c_{1y}^2 = 1$$

ومنها نحصل على :

$$c_{1x} = \frac{1}{\sqrt{3}} = c_{1y}$$

$$\psi_1 = \frac{1}{\sqrt{3}} \phi_s + \frac{1}{\sqrt{3}} \phi_x + \frac{1}{\sqrt{3}} \phi_y$$

$$\psi_2 = \frac{1}{\sqrt{3}} \phi_s + c_{2x} \phi_x + c_{2y} \phi_y$$

$$\psi_3 = \frac{1}{\sqrt{3}} \phi_s + c_{3x} \phi_x + c_{3y} \phi_y$$

$$c_{2y} = c_{3x}$$

$$c_{3y} = c_{2x} \quad \tan 15^\circ = \frac{c_{2x}}{-c_{2y}} = 0.268$$

إذا :

$$c_{2x} = -0.268 c_{2y}$$

$$\frac{1}{\sqrt{3}} + (-0.268 c_{2y})^2 + c_{2y}^2 = \phi_y$$

ومنها نحصل على :

$$c_{2y} = -0.789 \quad , \quad c_{2x} = -0.268 c_{2y} = 0.211$$

$$c_{3x} = -0.789 \quad , \quad c_{3y} = 0.211$$

وتصبح الدالات كالاتي :

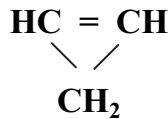
$$\psi_1 = \frac{1}{\sqrt{3}} \phi_s + \frac{1}{\sqrt{3}} \phi_x + \frac{1}{\sqrt{3}} \phi_y$$

$$\psi_2 = \frac{1}{\sqrt{3}} \phi_s + 0.211 \phi_x - 0.789 \phi_y$$

$$\psi_3 = \frac{1}{\sqrt{3}} \phi_s - 0.789 \phi_x + 0.211 \phi_y$$

مثال ( ١٠ ) :

أنجز حساب هيكل على السايكلوبروبين .



الحل :

$$\begin{vmatrix} \alpha - E & \beta & \beta \\ \beta & \alpha - E & \beta \\ \beta & \beta & \alpha - E \end{vmatrix} = 0$$

وإذا عوضنا عن  $\frac{\alpha - E}{\beta}$  بـ  $x$  فتصبح المحددة بالشكل التالي :

$$\begin{vmatrix} x & 1 & 1 \\ 1 & x & 1 \\ 1 & 1 & x \end{vmatrix} = 0$$

وحلها يعطي :

$$x = 1, x = 1, x = -2$$

$$\text{—————} \quad \text{—}\uparrow\text{—} \quad E_2 = E_3 = \alpha - \beta \quad \text{for } x = 1$$

$$\text{—————}\uparrow\downarrow\text{—————} \quad E_1 = \alpha + 2\beta \quad \text{for } x = -2$$

\* \* \*

## أسئلة عامة

١- يبعث الصوديوم ضوءاً أصفر ذا طول موجي  $550 \text{ nm}$  فما هو عدد الفوتونات التي يبعثها في كل ثانية إذا كانت قدرته تساوي واط واحد

( واط واحد = جول بالثانية ) ؟

الجواب :  $( 2.7 \times 10^{18} \text{ s}^{-1} )$  .

٢- ظهر الخط الطيفي ذا أكبر طول موجي في سلسلة معينة في الطيف الذري للهيدروجين عند  $656.3 \text{ nm}$  فما هي السلسلة ؟

( حيث إن :  $R_H = 109677 \text{ cm}^{-1}$  ) .

( الجواب : سلسلة بالمر ) .

حيث  $a$  هو نصف قطر مدار بور الأول  $\Psi_{(r)} = N \exp(-r/a)$

لذرة الهيدروجين فأوجد ثابت التناسق  $N$  .

( الجواب :  $( N = \left( \frac{1}{\pi a^3} \right)^{1/2}$  )

٤- صندوق مكعب بطول  $10 \text{ \AA}$  ويحتوي على جانبه  $8$  إلكترونات . طبق نظرية جسيم في صندوق البسيطة لحساب  $\Delta E$  لأول حالة متهيجة في مثل هذا النظام .

( الجواب :  $( \Delta E = 1.13 \text{ eV}$  ) .

٥- إذا كانت طاقة الحالة المستقرة لإلكترون في صندوق ( أحادي الاتجاه وطوله  $3 \text{ \AA}$  ) هي حوالي  $100 \text{ kcal mol}^{-1}$  والمطلوب هو لأي حجم ( أو لأي طول ) من صندوق ثلاثي الاتجاه ستكون طاقة الحالة المستقرة

مساوية لمعدل الطاقة الحركية  $( E_{\text{kin}} = \frac{3}{2} RT )$  للإلكترون عند  $25^\circ \text{e}$  .

( الجواب :  $( 54 \text{ \AA}$  ) .

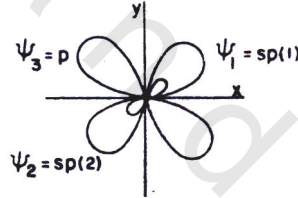
٦- إذا كانت قيمتا ثابت القوة للرابطين  $D - Cl$  ,  $H - Cl$  حوالي متساويتين وإن تردد الامتصاص للانتقال من  $v = 0$  إلى  $v = 1$  لـ  $HCl$  يحدث عند  $2890 \text{ cm}^{-1}$  فاحسب تردد الامتصاص لنفس النوع من الانتقال ولكن مع  $D - Cl$ .

( الجواب :  $2080 \text{ cm}^{-1}$  ) .

٧- ركب مخطط الأوربيتال الجزيئي لـ  $NO$  ومن ثم عين رتبة الأصرة وعدد الإلكترونات غير المزدوجة وأي من  $NO$  أو  $NO^+$  يكون أكثر استقراراً .

( الجواب : رتبة الربطة هي 2.5 وعدد الإلكترونات غير المزدوجة هو واحد ) .

٨- ركب أوربيتالات  $sp$  الهجينة من  $2s$  ,  $2p$  للشكل التالي :



٩- أنجز حساب هيكل للبيوتاديين .

\* \* \*

## المصطلحات العلمية

<b>Borwnian motion</b>	الحركة البراونية
<b>Collision diameter</b>	قطر التصادم
<b>Compression factor</b>	عامل الانضغاطية
<b>Critical temperature</b>	درجة الحرارة الحرجة
<b>Diffusion coefficient</b>	معامل الانتشار
<b>Effusion</b>	اندفاق
<b>Hard spheres</b>	كرات صلدة
<b>Ideal gas</b>	غاز مثالي
<b>Mean free path</b>	معدل المسار الحر
<b>Mole fraction</b>	الكسر المولي
<b>Molecular collision</b>	التصادم الجزيئي
<b>Partial pressure</b>	الضغط الجزيئي
<b>Real gas</b>	غاز حقيقي
<b>Reduced temperature</b>	درجة الحرارة المختزلة
<b>Self-diffusion coefficient</b>	معامل الانتشار الذاتي
<b>Speed</b>	انطلاق ( سرعة لا اتجاهية )
<b>Thermal conductivity</b>	الإيصالية الحرارية
<b>Thermal motion</b>	الحركة الحرارية
<b>Transport properties</b>	الخصائص الانتقالية
<b>Vector quantity</b>	كمية متجهة
<b>Velocity</b>	سرعة اتجاهية
<b>Viscosity</b>	اللزوجة
<b>Activated complex theory</b>	نظرية المعقد الفعال ( المعقد المنشط )
<b>Activation energy</b>	طاقة التنشيط
<b>Ative centers</b>	مراكز نشطة

<b>Apparent rate constant</b>	ثابت السرعة الظاهري
<b>Autocatalytic reactions</b>	تفاعلات مخفزة ذاتياً
<b>Branching chain</b>	التفاعل المتسلسل المتشعب
<b>Catalysis</b>	تحفيز
<b>Catalytic poisons</b>	مسممات التحفيز
<b>Chain-carrier</b>	حامل السلسلة
<b>Chain reactions</b>	التفاعلات المتسلسلة
<b>Chemisorption</b>	امتزاز كيميائي
<b>Collision theory</b>	نظرية التصادم
<b>Complex reactions</b>	التفاعلات المعقدة
<b>Consecutive reactions</b>	التفاعلات المتعاقبة
<b>Degeneracy</b>	انحلال
<b>Dielectric constant</b>	ثابت العزل الكهربائي
<b>Diffusion-controlled reaction</b>	تفاعلات الانتشار السائد
<b>Dilatometer</b>	جهاز قياس التمدد
<b>Elementary reaction</b>	التفاعل الأساسي ( الأولى )
<b>Encounter</b>	مجابهة
<b>Energized molecule</b>	جزيئة طاقية
<b>Flow method</b>	طريقة الجريان
<b>Free-radical chains</b>	سلاسل الجذور الحرة
<b>Frequency factor</b>	عامل التردد
<b>Half-life</b>	عمر النصف
<b>Head – on collision</b>	تصادم رأسي
<b>Heterogeneous reaction</b>	تفاعل غير متجانس
<b>Homogeneous reaction</b>	تفاعل متجانس
<b>Inhibitor</b>	مانع



<b>Intermediate compound</b>	مركب وسطي
<b>Loosely bound complex</b>	معقد ضعيف الترابط
<b>Moment of inertia</b>	عزم القصور الذاتي
<b>Overall order</b>	الرتبة الكلية
<b>Parallel reactions</b>	التفاعلات المتوازية
<b>Promoters</b>	معززات
<b>Pseudo order</b>	الرتبة الكاذبة
<b>Rate constant</b>	ثابت السرعة
<b>Rate-determining-step approximation</b>	طريقة الخطوة المحددة للسرعة
<b>Reaction coordinate</b>	إحداثي التفاعل
<b>Reaction mechanism</b>	ميكانيكية التفاعل
<b>Reaction molecularity</b>	جزئية التفاعل
<b>Relaxation method</b>	طريقة التراخي
<b>Reversible reactions</b>	التفاعلات المتعاكسة
<b>Solvent cage effect</b>	تأثير القفص المذيب
<b>Specific catalysis</b>	تحفيز نوعي
<b>Static method</b>	طريقة الركود
<b>Steady – state approximation</b>	طريقة الحالة المستقرة
<b>Steric factor</b>	عامل فراغي
<b>Symmetry number</b>	عدد التماثل ( أو التناظر )
<b>Threshold energy</b>	طاقة العتبة
<b>Tightly bound complex</b>	معقد قوي الترابط
<b>Transition state</b>	حالة انتقالية
<b>Transmission coefficient</b>	معامل النفاذية
<b>Trial method</b>	طريقة المحاولة
<b>Turnover number</b>	عدد التحولي
<b>Zero – order</b>	الرتبة صفر

<b>Angular velocity</b>	السرعة الزاوية
<b>Bound layer</b>	الطبقة الارتباطية
<b>Boyant force</b>	قوة الطفو
<b>Centripetal acceleration</b>	تعجيل الجذب الأرضي
<b>Colloidal electrolytes</b>	الإلكتروليتات الغروية
<b>Dispersed phase</b>	الحالة المنتشرة
<b>Donan equilibrium</b>	توازن دونان
<b>Drift speed</b>	السرعة الانتقالية
<b>Electric mobilities of ions</b>	الانتقالات الكهربائية للأيونات
<b>Electrolysis</b>	التحلل الكهربائي
<b>Electro-Osmotic pressure</b>	الضغط الأزموزي الكهربائي
<b>Equivalent conductance</b>	التوصيل المكافئ
<b>Intrinsic viscosity</b>	اللزوجة الذاتية
<b>Ionic product of water</b>	الحاصل الأيوني للماء
<b>Ionic strength</b>	الشدة الأيونية
<b>Irreversible processes</b>	العمليات غير العكسية
<b>Jumping mechanism</b>	ميكانيكية القفز
<b>Lyophilic colloids</b>	غرويات ميالة للمذيب
<b>Lyophobic colloids</b>	غرويات كارهة للمذيب
<b>Molar conductance</b>	التوصيل المولاري
<b>Moving – boundary method</b>	طريقة الحد الفاصل المتحرك
<b>Partial specific volume</b>	الحجم الجزئي النوعي
<b>Primary hydration number</b>	عدد التميؤ الأولى
<b>Reduced viscosity</b>	اللزوجة المختزلة
<b>Relative viscosity</b>	اللزوجة النسبية
<b>Reynolds number</b>	عدد رينولد

<b>Sedimentation coefficient</b>	معامل الركود
<b>Semipermeable membrane</b>	غشاء شبه نفاذ
<b>Sparingly soluble salts</b>	أملاح شحيحة الذوبان
<b>Specific resistance</b>	المقاومة النوعية
<b>Stern potential</b>	جهد ستيرن
<b>Streamline flow</b>	الجريان الانسيابي
<b>Transference number</b>	العدد الانتقالي
<b>Turbulent flow</b>	الجريان المضطرب
<b>Amalgam electrode</b>	قطب مملغم
<b>Autoprotolysis</b>	تفكك بروتوني ذاتي
<b>Concentration cells</b>	خلايا تركيزية
<b>Deflection</b>	انحراف
<b>Electro chemical cells</b>	خلايا كهروكيميائية
<b>Electrolyte cells</b>	خلايا إلكتروليتيّة
<b>Electromotive force</b>	القوة الدافعة الكهربائية
<b>Exchange current density</b>	كثافة تيار التبادل
<b>Galvanic cell</b>	خلية جلفانية
<b>Gas electrode</b>	قطب الغاز
<b>Glass electrode</b>	قطب الزجاج
<b>Liquid junction potential</b>	جهد التقاء السائل
<b>Mean activity</b>	معدل الفعالية
<b>Membrane equilibrium</b>	توازن غشائي
<b>Null point</b>	نقطة الخمود
<b>Over voltage</b>	الفولتية الإضافية
<b>Potentiometer</b>	جهاز قياس الجهد
<b>Reduction-oxidation electrode</b>	قطب أكسدة - اختزال

Reference electrode	قطب موجي
Salt bridge	جسر ملحي
Solubility product	حاصل الإذابة
Terminals	أطراف توصيل
Transfer coefficient	معامل الانتقال
Working battery	بطارية تشغيل
Average value	معدل القيمة
Binding energy	طاقة الربط
Black body radiation	أشعة الجسم الأسود
Bohr orbit	مدار بوهر
Bond order	رتبة الرابطة
Bonding orbital	أوربيتال ترابطي
Conservative system	نظام محافظ
Coordinate system	نظام إحداثي
Coulomb integral	تكامل كولومبي
Delocalization energy	طاقة اللاتمرکز
Determinant	المحددة
Diatomic molecules	جزيئات ثنائية الذرة
Effective nuclear charge	الشحنة النووية الفعالة
Eigen function	دالة ذاتية
Electron correlation	الترباط الإلكتروني
Free particle	جسيم حر
Hamiltonian operator	مؤثر هاميلتوني
Harmonic oscillator	المهتز التوافقي
Heisenberg uncertainty principle	قاعدة اللادقة لهيزنبرك
Hermitian operator	مؤثر هيرميتي

<b>Huckel molecular orbital theory</b>	نظرية الأوربيتال الجزئي لهيكل
<b>Hybrid orbitals</b>	أوربيتالات هجينية
<b>Lagrangian function</b>	دالة لاجرنج
<b>Linear combination</b>	اتحاد خطي
<b>Many-electron atoms</b>	ذرات متعددة الإلكترونات
<b>Node</b>	عقدة
<b>Normalization</b>	عملية تناسق
<b>Overlap integral</b>	تكامل التداخل
<b>Pauli exclusion principle</b>	مبدأ باولي للاستثناء
<b>Perturbation method</b>	طريقة الاضطراب
<b>Photoelectric effect</b>	التأثير الكهروضوئي
<b>Postulates</b>	فرضيات
<b>Rigid rotator</b>	دوار صلد
<b>Valence-bond theory</b>	نظرية رابطة - التكافؤ
<b>Variation method</b>	طريقة التغيير
<b>Speed</b>	انطلاق
<b>Thermal conductivity</b>	إيصالية حرارية
<b>Molecular collision</b>	تصادم جزيئي
<b>Brownian motion</b>	حركة براونية
<b>Thermal motion</b>	حركة حرارية
<b>Transport properties</b>	خصائص انتقالية
<b>Critical temperature</b>	درجة الحرارة الحرجة
<b>Reduced temperature</b>	درجة الحرارة المختزلة
<b>Velocity</b>	سرعة اتجاهية
<b>Partial pressure</b>	ضغط جزئي
<b>Compression factor</b>	عامل الانضغاطية

<b>Real gas</b>	غاز حقيقي
<b>Ideal gas</b>	غاز مثالي
<b>Collision diameter</b>	قطر التصادم
<b>Hard spheres</b>	كرات صلدة
<b>Mole fraction</b>	كسر مولي
<b>Vector quantity</b>	كمية متجهة
<b>Viscosity</b>	لزوجة
<b>Diffusion coefficient</b>	معامل الانتشار
<b>Self-diffusion coefficient</b>	معامل الانتشار الذاتي
<b>Mean free path</b>	معدل المسار الحر
<b>Reaction coordinate</b>	إحداثي التفاعل
<b>Chemisorption</b>	امتزاز كيميائي
<b>Degeneracy</b>	انحلال
<b>Solvent cage effect</b>	تأثير القفص المذيب
<b>Catalysis</b>	تحفيز
<b>Specific catalysis</b>	تحفيز نوعي
<b>Head-on-collision</b>	تصادم رأسي
<b>Elementary reaction</b>	تفاعل أساسي
<b>Heterogeneous reaction</b>	تفاعل غير متجانس
<b>Homogeneous reaction</b>	تفاعل متجانس
<b>Chain reaction</b>	تفاعل متسلسل
<b>Branching chain</b>	تفاعل متسلسل متشعب
<b>Diffusion – controlled reactions</b>	تفاعلات الانتشار السائد
<b>Consecutive reactions</b>	تفاعلات متعاقبة
<b>Reversible reactions</b>	تفاعلات متعكسة
<b>Parallel reactions</b>	تفاعلات متوازية

<b>Outocatalytic reactions</b>	تفاعلات محفزة ذاتيًا
<b>Complex reactions</b>	تفاعلات معقدة
<b>Rate constant</b>	ثابت السرعة
<b>Apparent rate constant</b>	ثابت السرعة الظاهري
<b>Dielectric constant</b>	ثابت العزل الكهربائي
<b>Energized molecule</b>	جزيئة طاقية
<b>Reaction molecularity</b>	جزيئة التفاعل
<b>Dilatometer</b>	جهاز قياس التحدد
<b>Transition state</b>	حالة انتقالية
<b>Chain – carrier</b>	حالة السلسلة
<b>Zero – order</b>	رتبة صفر
<b>Pseudo – order</b>	رتبة كاذبة
<b>Overall order</b>	رتبة كلية
<b>Free – radical chains</b>	سلاسل الجذور الحرة
<b>Activation energy</b>	طاقة التنشيط
<b>Threshold energy</b>	طاقة العتبة
<b>Relaxation method</b>	طريقة التراخي
<b>Flow method</b>	طريقة الجريان
<b>Steady-state approximation</b>	طريقة الحالة المستقرة
<b>Rate-determining-step approximation</b>	طريقة الخطوة المحددة للسرعة
<b>Static method</b>	طريقة الركود
<b>Trail method</b>	طريقة المحاولة
<b>Steric factor</b>	عامل فراغي
<b>Frequency factor</b>	عامل التردد
<b>Turnover number</b>	عدد التحول
<b>Symmetry number</b>	عدد التماثل
<b>Moment of inertia</b>	عزم القصور الذاتي

<b>Half – life</b>	عمر النصف
<b>Inhibitor</b>	مانع
<b>Encounter</b>	مجابهة
<b>Active centers</b>	مراكز نشطة
<b>Intermediate compound</b>	مركب وسطي
<b>Transmission coefficient</b>	معامل النفاذية
<b>Promoters</b>	معززات
<b>Loosely bound complex</b>	مقعد ضعيف الترابط
<b>Tightly bound complex</b>	مقعد قوي الترابط
<b>Reaction mechanism</b>	ميكانيكية التفاعل
<b>Collision theory</b>	نظرية التصادم
<b>Activated complex theory</b>	نظرية المعقد الفعال
<b>Sparingly soluble salts</b>	أملاح شحيحة الذوبان
<b>Electric mobilities of ions</b>	انتقالات كهربائية للأيونات
<b>Centripetal acceleration</b>	تعجيل الجذب الأرضي
<b>Electrolysis</b>	تحلل كهربائي
<b>Donan equilibrium</b>	توازن دونان
<b>Equivalent conductance</b>	توصيل كهربائي
<b>Molar conductance</b>	توصيل مولاري
<b>Streamline flow</b>	جريان انسيابي
<b>Turbulent flow</b>	جريان مضطرب
<b>Stern potential</b>	جهد ستيرن
<b>Ionic product of water</b>	حاصل الأيوني للماء
<b>Dispersed phase</b>	حالة متشتتة
<b>Partial specific volume</b>	حجم جزء نوعي
<b>Drift speed</b>	سرعة انتقالية



<b>Angular velocity</b>	سرعة زاوية
<b>Ionic strength</b>	شدة أيونية
<b>Bound layer</b>	طبقة ارتباطية
<b>Moving-boundary method</b>	طريقة الحد الفاصل المتحرك
<b>Electro-osmotic pressure</b>	ضغط أزموزي كهربائي
<b>Transference number</b>	عدد انتقالي
<b>Primary hydration number</b>	عدد التميؤ الأولي
<b>Reynold's number</b>	عدد رينولد
<b>Irreversible processes</b>	عمليات غير عكسية
<b>Lyophobic colloids</b>	غرويات كارهة للمذيب
<b>Lyophilic colloids</b>	غرويات ميالة للمذيب
<b>Semipermeable membrane</b>	غشاء شبه نفاذ
<b>Boyant force</b>	قوة الطفو
<b>Intrinsic viscosity</b>	لزوجة ذاتية
<b>Reduced viscosity</b>	لزوجة مختزلة
<b>Relative viscosity</b>	لزوجة نسبية
<b>Sedimentation coefficient</b>	معامل الركود
<b>Specific resistance</b>	مقاومة نوعية
<b>Jumping mechanism</b>	ميكانيكية القفز
<b>Terminals</b>	أطراف توصيل
<b>Deflection</b>	انحراف
<b>Working battery</b>	بطارية تشغيل
<b>Autoprotolysis</b>	تفكك بروتوني ذاتي
<b>Membrane equilibrium</b>	توازن غشائي
<b>Potentiometer</b>	مجهاذ
<b>Salt bridge</b>	جسر ملحي

<b>Liquid junction potential</b>	جهد التقاء السائل
<b>Solubility product</b>	حاصل الإذابة
<b>Electrolyte cells</b>	خلايا إلكتروليتيّة
<b>Concentration cells</b>	خلايا تركيزية
<b>Electrochemical cells</b>	خلايا كهروكيميائية
<b>Galvanic cell</b>	خلية جلفانية
<b>Over voltage</b>	فولتية إضافية
<b>Reduction-oxidation electrode</b>	قطب أكسدة - اختزال
<b>Glass electrode</b>	قطب الزجاج
<b>Gas electrode</b>	قطب الغاز
<b>Reference electrode</b>	قطب مرجعي
<b>Amalgam electrode</b>	قطب مملغم
<b>Electromotive force</b>	قوة دافعة كهربائية
<b>Exchange current density</b>	كثافة تيار التبادل
<b>Transfer coefficient</b>	معامل الانتقال
<b>Mean activity</b>	معدل الفعالية
<b>Null point</b>	نقطة الخمود
<b>Black body radiation</b>	أشعة الجسم الأسود
<b>Bonding orbital</b>	أوربيتال تأسري
<b>Hybrid orbitals</b>	أوربيتالات مهجنة
<b>Photoelectric effect</b>	تأثير كهروضوئي
<b>Electron correlation</b>	ترابط إلكتروني
<b>Overlap integral</b>	تكامل التداخل
<b>Coulomb integral</b>	تكامل كولومبي
<b>Free particle</b>	جسيم حر
<b>Diatomic molecules</b>	جزيئات ثنائية الذرة

<b>Eigen function</b>	دالة ذاتية
<b>Lagrangian function</b>	حالة لاجرند
<b>Rigid rotator</b>	دوار صلد
<b>Many-electron atoms</b>	ذرات متعددة الإلكترونات
<b>Bond order</b>	رتبة الرابطة
<b>Effective nuclear charge</b>	شحنة نووية فعالة
<b>Binding energy</b>	طاقة الربط
<b>Delocalization energy</b>	طاقة اللاتمرکز
<b>Perturbation method</b>	طريقة الاضطراب
<b>Variation method</b>	طريقة التغيير
<b>Node</b>	عقدة
<b>Normalization</b>	عملية تناسق
<b>Postulates</b>	فرضيات
<b>Heisenberg uncertainty principle</b>	قاعدة اللاذقة لهاينزبرج
<b>Pauli exclusion principle</b>	مبدأ بولي للاستثناء
<b>Determinant</b>	محددة
<b>Bohr orbit</b>	مدار بوهر
<b>Average value</b>	معدل القيمة
<b>Harmonic oscillator</b>	مهتز توافقي
<b>Hamiltonian operator</b>	مؤثر هاملتوني
<b>Hermitian operator</b>	مؤثر هيرميتي
<b>Coordinate system</b>	نظام إحداثي
<b>Conservative system</b>	نظام محافظ
<b>Valence-bond theory</b>	نظرية رابطة التكافؤ
<b>Huckel molecular orbital theory</b>	نظرية الأوربيتال الجزيئي للهيكل

\* \* \*